

Resultados

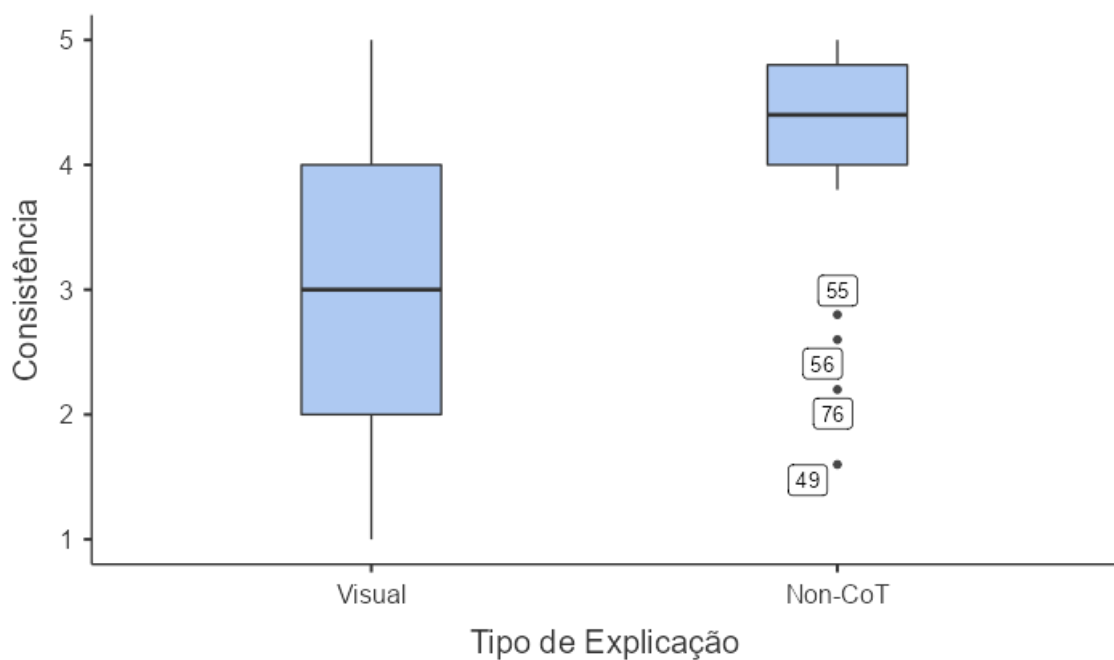
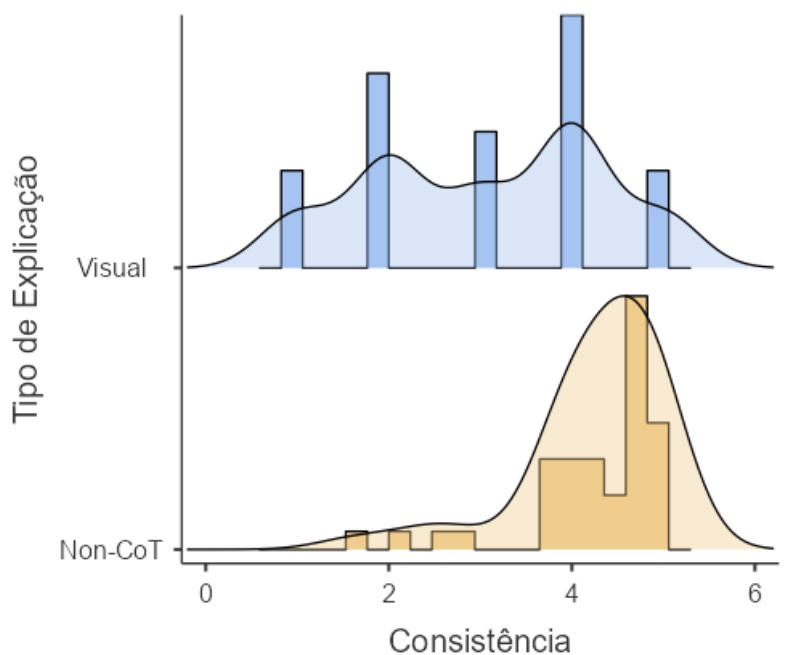
Estatística Descritiva

Estatística Descritiva

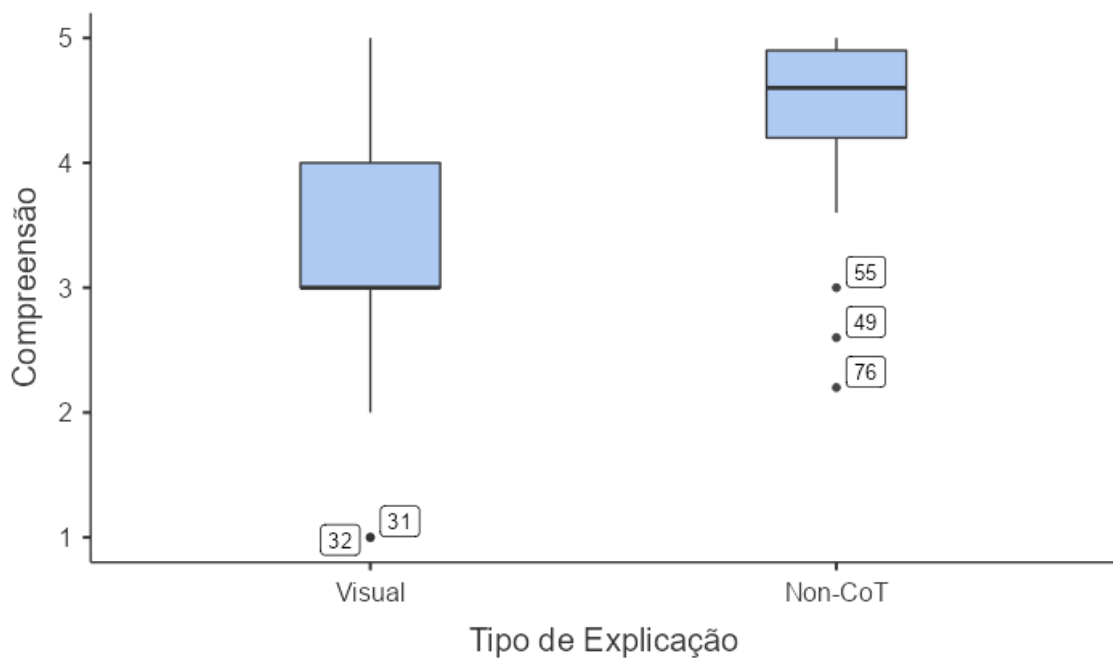
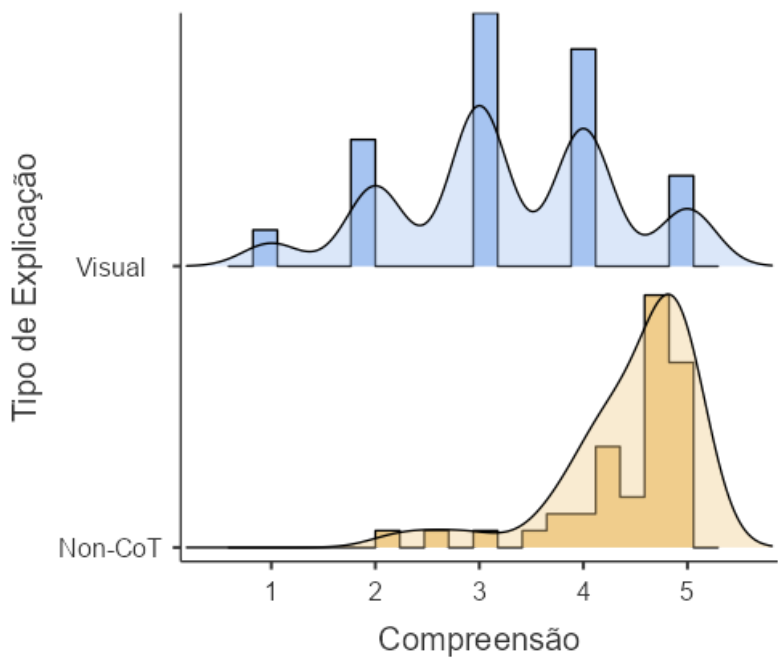
	Tipo de Explicação	Consistência	Compreensão	Confiança
N	Visual	40	40	40
	Non-CoT	43	43	43
Omissos	Visual	0	0	0
	Non-CoT	0	0	0
Média	Visual	3.08	3.27	3.35
	Non-CoT	4.26	4.45	4.25
Mediana	Visual	3.00	3.00	3.50
	Non-CoT	4.40	4.60	4.40
Desvio-padrão	Visual	1.27	1.06	1.29
	Non-CoT	0.762	0.647	0.628
Assimetria	Visual	-0.147	-0.183	-0.552
	Non-CoT	-1.79	-1.84	-1.02
Erro-padrão da Assimetria	Visual	0.374	0.374	0.374
	Non-CoT	0.361	0.361	0.361
Curtose	Visual	-1.12	-0.429	-0.548
	Non-CoT	3.57	3.65	0.701
Erro-padrão da Curtose	Visual	0.733	0.733	0.733
	Non-CoT	0.709	0.709	0.709
W de Shapiro-Wilk	Visual	0.900	0.915	0.875
	Non-CoT	0.809	0.787	0.894
p Shapiro-Wilk	Visual	0.002	0.005	< .001
	Non-CoT	< .001	< .001	< .001

Gráficos

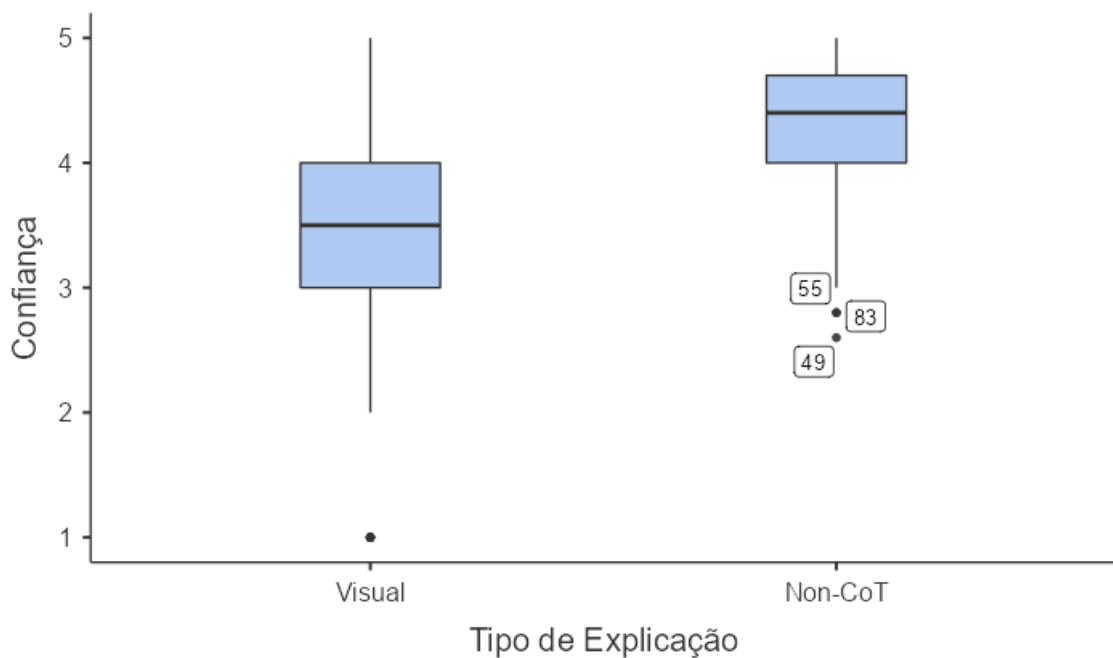
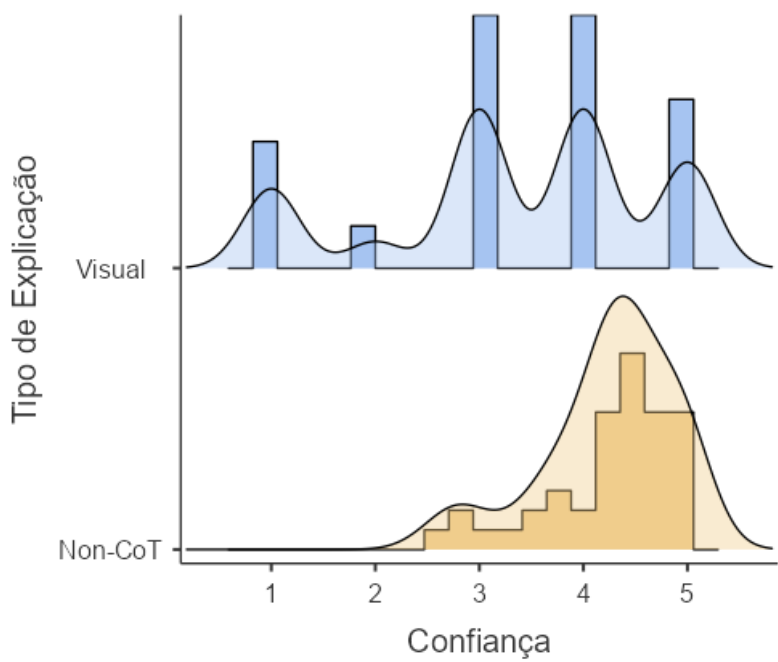
Consistência



Compreensão



Confiança



ANOVA de Medições Repetidas (não-paramétrica)

Friedman

χ^2	gl	p
7.74	2	0.021

Comparações Múltiplas (Durbin-Conover)

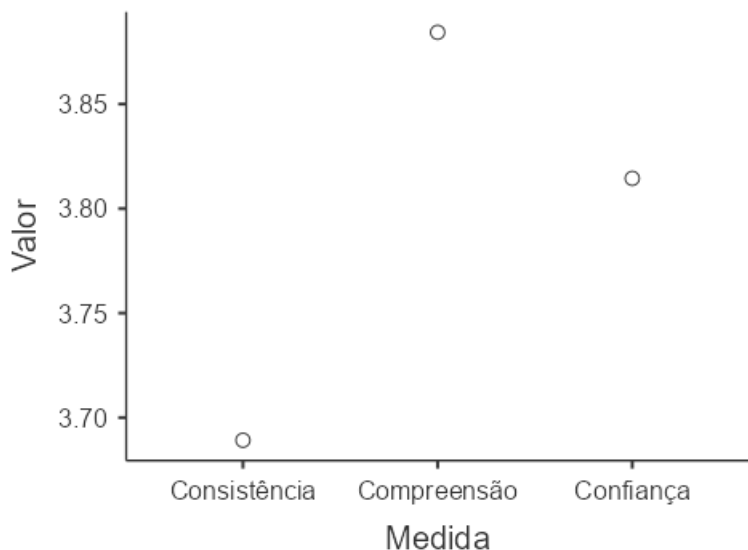
		Estatística	p
Consistência	-	Compreensão	2.162
Consistência	-	Confiança	0.503
Compreensão	-	Confiança	2.664

[3]

Estatística Descritiva

	Média	Mediana
Consistência	3.69	4.00
Compreensão	3.88	4.00
Confiança	3.81	4.00

Gráfico Descritivo



Teste t para amostras independentes

Teste t para amostras independentes

		Estatística	gl	p	Diferença média	Erro-padrão da Diferença	Dimensão do Efeito
Consistência	t de Student	-5.20 ^a	81.0	< .001	-1.185	0.228	d de Cohen -1.143
	t de Welch	-5.11	63.0	< .001	-1.185	0.232	d de Cohen -1.133
	U de Mann-Whitney	385		< .001	-1.000		Correlação biserial de ordens 0.552
Compreensão	t de Student	-6.14 ^a	81.0	< .001	-1.176	0.192	d de Cohen -1.349
	t de Welch	-6.04	63.6	< .001	-1.176	0.195	d de Cohen -1.337
	U de Mann-Whitney	307		< .001	-1.000		Correlação biserial de ordens 0.644
Confiança	t de Student	-4.06 ^a	81.0	< .001	-0.897	0.221	d de Cohen -0.893
	t de Welch	-3.97	55.5	< .001	-0.897	0.226	d de Cohen -0.883
	U de Mann-Whitney	490		< .001	-0.800		Correlação biserial de ordens 0.430

Nota. $H_0: \mu_{\text{Visual}} = \mu_{\text{Non-CoT}}$

^a O teste de Levene é significativo ($p < 0.05$), sugerindo a violação do pressuposto da homogeneidade de variâncias

[4]

Pressupostos

Teste à Normalidade (Shapiro-Wilk)

	W	p
Consistência	0.947	0.002
Compreensão	0.932	< .001
Confiança	0.920	< .001

Nota. Um p-value pequeno sugere a violação do pressuposto da normalidade

Teste à Homogeneidade de Variâncias (Levene)

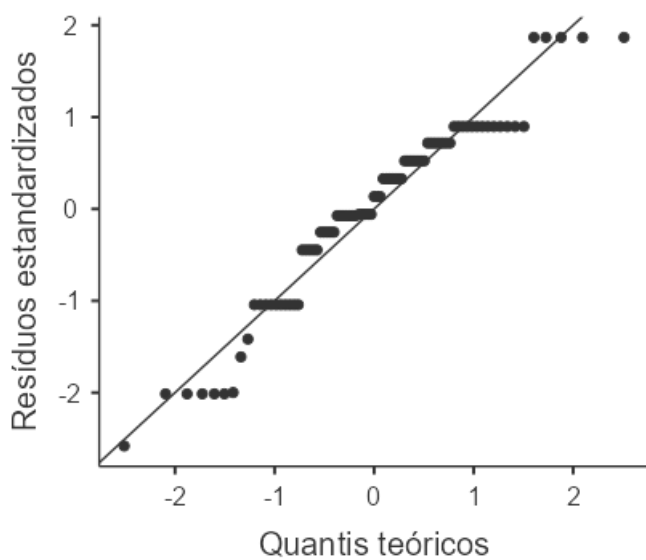
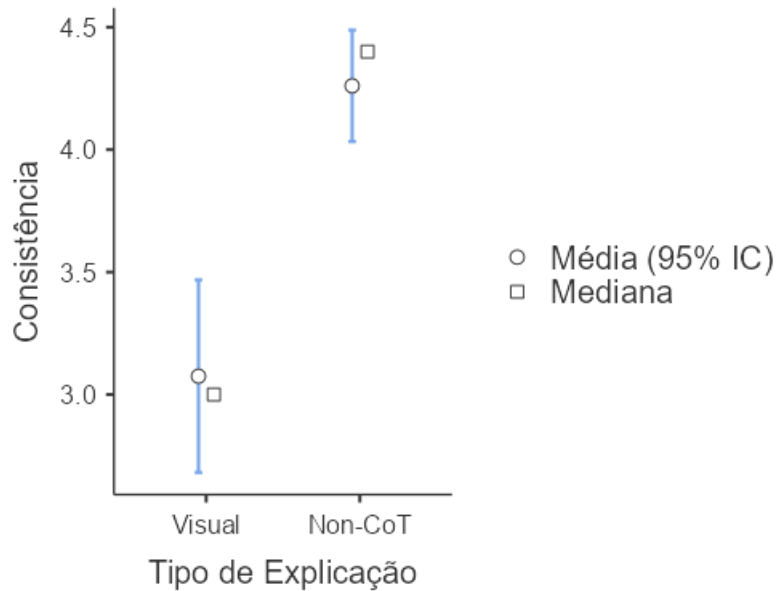
	F	gl	gl2	p
Consistência	17.6	1	81	< .001
Compreensão	11.7	1	81	0.001
Confiança	20.2	1	81	< .001

Nota. Um p-value pequeno sugere a violação do pressuposto da homogeneidade de variâncias

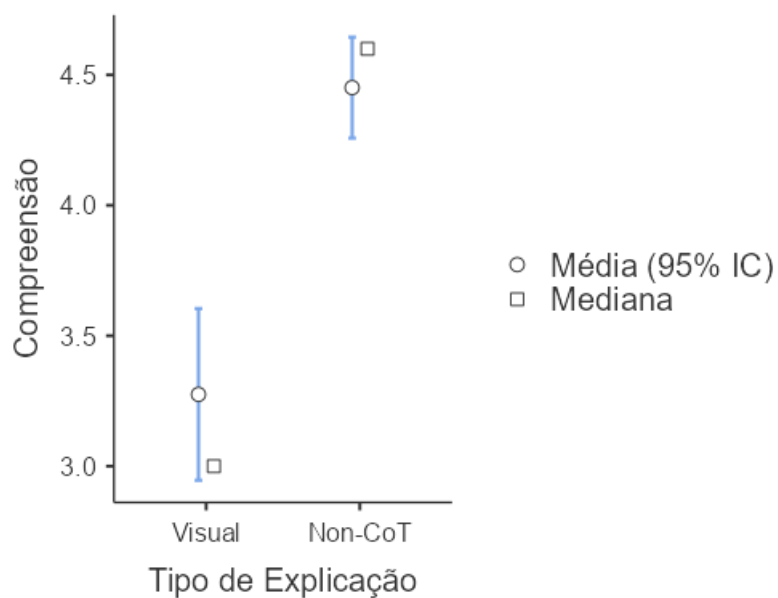
[5]

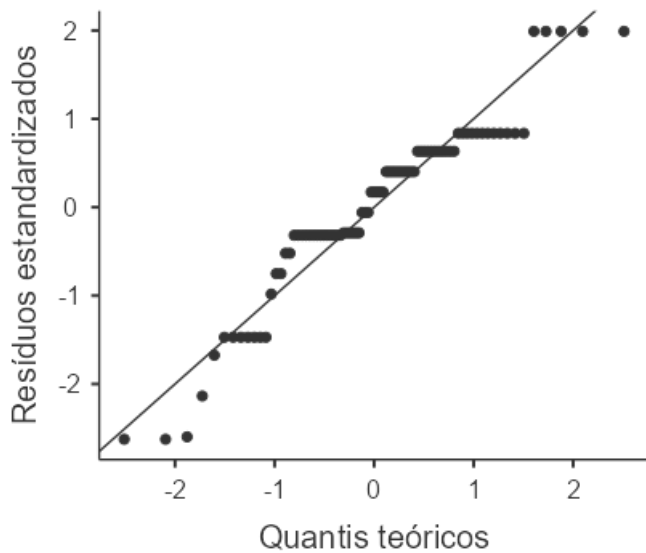
Gráficos

Consistência

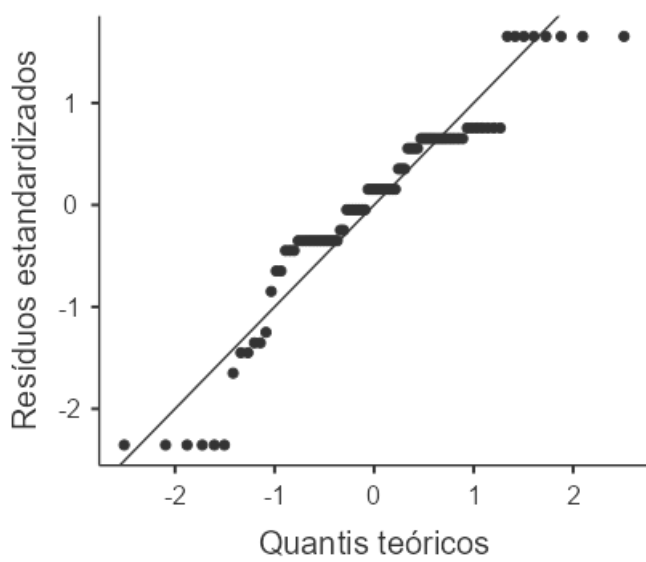
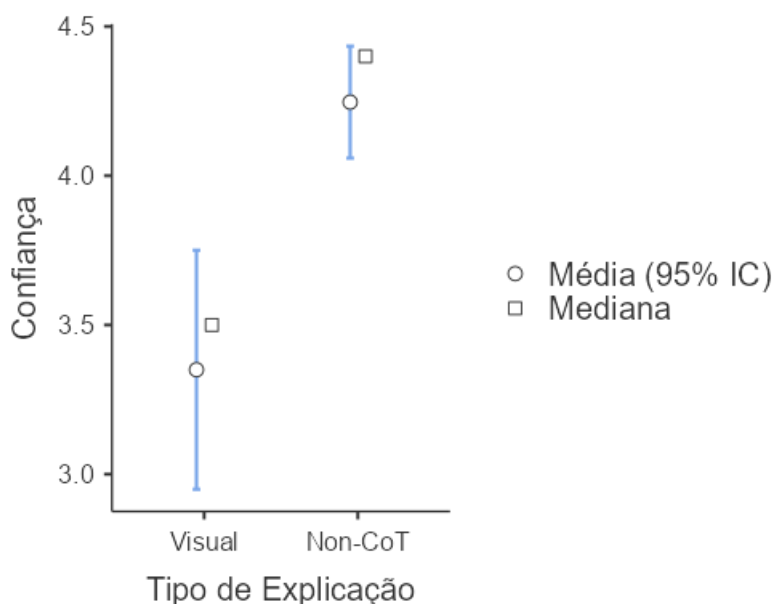


Compreensão





Confiança



Referências

- [1] The jamovi project (2022). *jamovi*. (Version 2.3) [Computer Software]. Retrieved from <https://www.jamovi.org>.

[2] R Core Team (2021). *R: A Language and environment for statistical computing*. (Version 4.1) [Computer software]. Retrieved from <https://cran.r-project.org>. (R packages retrieved from MRAN snapshot 2022-01-01).

[3] Pohlert, T. (2018). *PMCMR: Calculate Pairwise Multiple Comparisons of Mean Rank Sums*. [R package]. Retrieved from <https://cran.r-project.org/package=PMCMR>.

[4] Kerby, D. S. (2014). The simple difference formula: An approach to teaching nonparametric correlation. *Comprehensive Psychology*, 3, 2165–2228.

[5] Fox, J., & Weisberg, S. (2020). *car: Companion to Applied Regression*. [R package]. Retrieved from <https://cran.r-project.org/package=car>.